

## II - 7 開水路流れにおける拡散過程について（第5報）

京都大学工学部 正員 工博 岩佐義朗  
 京都大学工学部 正員 工修 今本博健  
 大阪市役所 正員 上修〇藤田善信

開水路流れにおける拡散現象を解明する方法には、(1) 拡散基礎式による方法と、(2) 統計的取り扱いによる方法との二つの方法に大別されるが、(1)の方法は、拡散係数が時間や空間場所の関数の場合には、一般に解を求めることが困難となり、また、拡散基礎式は算出上多くの問題点を有しているため、実験問題に適用するには至っていない。一方(2)の方法は、拡散場が等方かつ一様乱流場に属している場合におけるものであり、非等方乱流場における拡散現象に対する未解明の点が多く、まだ一段階化されていない。そこで、本研究は、非等方性乱流場における拡散現象を解明するための一環として、一連の研究、すなへて導かれらる拡散場がすべて等方性乱流場に属する場合の濃度分布式と、実際の開水路流れにおける拡散現象との離反の程度を明らかにしようとするものである。

### 1. 亂流場の分類

一般に、定常流れにおける乱流場は局所的平均流速 (local mean velocity) と乱れ (turbulence) によって特性づけられる。また、局所的平均流速は、uniform と non-uniform とに、乱れは、等向性か否か、isotropic と non-isotropic とに、空間性からは、homogeneous と non-homogeneous とに分類され、それこれらの組合せによって複数の乱流場が考えられるが、実用上重要な乱流場は、つぎの2種である。

1. 一様乱流場 { local mean velocity ; uniform  
                                ; turbulence ; isotropic and homogeneous
2. せん断乱流場 { local mean velocity ; non-uniform  
                                ; turbulence ; non-isotropic and non-homogeneous

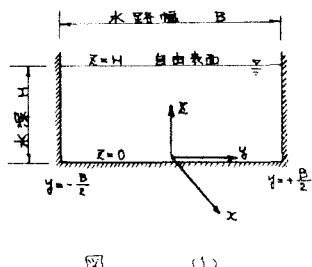
### 2 実験装置および実験方法

本研究に用いた実験水路は、幅 25 cm、深さ 35 cm、長さ 16 m の直角断面直線水路で、内壁は全面に透明な温化ビニール樹脂の滑面からできている。水路床とう配は  $1/500$  で固定し、上流端は整流箱、下流端は水位調節用の堰き上げ板が設置されている。

拡散物質として食塩水を使用し、その濃度は  $500 \text{ g}/30 \text{ L}$  とし、直径 2 mm の tube を通して下流に向かって連続的に放流する。床面注入装置設置による影響は流下距離 5 cm で、ほとんど無視できることが確認されている。資料採取装置は直径 1 mm 程度の注射針の先端 2 cm 程度を流れの上流方向に曲げ、1 cm 間隔で 22 本並列してものを用いた。これらをビニールチューブに連結し、サイフォンで下方に設けた採取ビンに受け、それの電導度を測定して濃度を換算する。

### 3 実験結果および考察

理論的には Taylor の統計理論より出来し、拡散物質が境界面で完全反射されるとき假定した式を使用



する。すなはち、無次元化表示によって、 $\bar{C}_b$  は

$$\bar{C}_b(x, y_*, z_*) = \frac{g_t}{U_{HB}} f_y(y_*, \sigma_{yB}) \cdot f_z(z_*, \sigma_{zH})$$

$$\text{である。} \quad \frac{\sigma}{B} = \sigma_{yB}, \quad \frac{y}{B} = y_*$$

$$f_y(y_*, \sigma_{yB}) = \sum_{i=0}^{\infty} \frac{1}{\sqrt{2\pi} \sigma_{yB}} \exp \left[ -\frac{(y_{i*} - y_{s*})^2}{2 \sigma_{yB}^2} \right]$$

$$\frac{\sigma}{H} = \sigma_{zH}, \quad \frac{z}{H} = z_*$$

$$f_z(z_*, \sigma_{zH}) = \sum_{i=0}^{\infty} \frac{1}{\sqrt{2\pi} \sigma_{zH}} \exp \left[ -\frac{(z_{i*} - z_{s*})^2}{2 \sigma_{zH}^2} \right]$$

また座標系は図(1)に示す通りである。

図(2)は濃度拡散と粒子拡散について標準分散と流下距離の関係を示したものである。なお、実線は濃度拡散、点線は粒子拡散に関する Taylor の統計理論から求めた理論曲線である。この図より、拡散現象は擴散物質とその媒質との相互作用によつてくことが明確に示されている。

また一様乱流域と考えられる領域では理屈曲線と実測値が一致し Taylor の理論がなむわら

$$D_y = \frac{1}{2} \frac{d}{ds} (\bar{C}_b) = \bar{U}^2 \int_0^s R_s ds \quad \text{が十分通用されることが示す}$$

れている。さて  $D_y$  は半方向の拡散係数、 $R_s$  は時空間隔でだけはけられた点における変動速度の相関距離である。図(3)においても一様乱流域と考えられる部分は理屈曲線と実測値が比較的よく一致している。しかし壁面近くの乱れの強さが大きくなる部分は等方性乱流域と考えられず、実測点はばらつく傾向を示す。図(4)の半方向の分布では、local mean velocity が大きくなるほど逆で実測値は大き

くなり、小さくなると逆に反対の結果を示している。これは輸送的考案とは逆の結果となる。すなはち半方向は一様乱流域と仮定することができます、turbulent shear flow として解析しなければならない。この現象の説明として局所的時間の流れ、局所的平均流速の変化による圧力差などが考えられるが、これらによる輸送過程を説明するまでには至っていない。また平均流速こう配の存在にとかかわらず、濃度が全断面を通じて一定の行な領域が生ずると今後の課題として興味ある問題である。

1) 岩佐、今本、藤田：“雨水路流れにおける拡散過程について（第3報）”

土木学会関西支部年次学術講演会講演概要 (1964)